Федеральное государственное автономное образовательное учреждение высшего образования «ЮЖНЫЙ ФЕДЕРАЛЬНЫЙ УНИВЕРСИТЕТ»

На правах рукописи

9

Крачковская Алина Викторовна

Синтез конденсированных гетероциклов на основе солей пирилия

02.00.03 - органическая химия

Автореферат

диссертации на соискание ученой степени кандидата химических наук

Работа выполнена на кафедре природных и высокомолекулярных соединений химического факультета федерального государственного автономного образовательного учреждения высшего образования «Южный федеральный университет»

Научный Суздалев Константин Филиппович,

руководитель: кандидат химических наук, доцент

Официальные Демидов Олег Петрович

оппоненты: доктор химических наук, старший научный сотрудник,

доцент кафедры химии Института математики и естественных наук ФГБОУ ВО «Северо-Кавказский

федеральный университет» (г. Ставрополь)

Шепеленко Евгений Николаевич

кандидат химических наук, старший научный сотрудник ЮНЦ РАН (г. Ростов-на-Дону)

Защита состоится «08» апреля 2021 г. в 15.30 ч. на заседании диссертационного совета ЮФУ 02.01 по химическим наукам при Южном федеральном университете по адресу: 344090 г. Ростов-на-Дону, пр. Стачки, д.194/2, НИИ физической и органической химии ЮФУ.

С диссертацией можно ознакомиться в Зональной научной библиотеке Южного федерального университета по адресу: г. Ростов-на-Дону, ул. Зорге, д. 21-Ж, 2 этаж и на сайте https://hub.lib.sfedu.ru/diss/show/1284214/

Отзыв (в нем укажите дату, а также полностью свои фамилию, имя, отчество, учёную степень со специальностью, звание, организацию, подразделение, должность, адрес, телефон, e-mail) с заверенной подписью рецензента и печатью учреждения просим направлять в 2 экз. учёному секретарю диссертационного совета ЮФУ 02.01 при ЮФУ по адресу: 344090 г. Ростов-на-Дону, пр. Стачки, д.194/2, НИИ физической и органической химии ЮФУ, ученому секретарю диссертационного совета ЮФУ02.01 Душенко Галине Анатольевне (а также в формате .pdf — на e-mail: gadushenko@sfedu.ru).

Автореферат разослан « » _____ 2021 г.

Ученый секретарь диссертационного совета ЮФУ02.01, доктор химических наук

Душенко Г. А.

Общая характеристика работы

Актуальность темы исследования. Соли пирилия являются доступными и универсальными реагентами для построения различных гетероциклических Существует огромное количество работ соединений. ПО изучению рециклизации пирилиевого катиона. Однако до недавнего времени химия этой катионной системы ограничивалась лишь построением и модификацией гетероциклов. Реакции, включающие реорганизацию моноциклических углеродного скелета и превращение одного катиона пирилия в другой, до сих пор неизвестны. Методы получения катионов пирилия, конденсированных с пирановым циклом, также не реализованы, хотя их изучение является привлекательной задачей в плане синтеза биядерных гетероциклических систем (схема 1).

Схема 1

Известные работы

Разработка метода синтеза и исследование свойств катионов пирано[3,4-c]пирания открывает широкие перспективы для получения разнообразных гетероциклических структур благодаря возможности рециклизации одного или обоих пирановых колец одновременно или поочередно. Такие реакции должны приводить к образованию производных 2,7-нафтиридина и пирано[3,4-c]пиридина. Соединения этих рядов интенсивно изучаются в последние годы и чаще всего обладают высокой антибактериальной активностью. При этом пирано[3,4-c]пиридины проявляют себя как эффективные ингибиторы бактериальной помпы выброса антибиотиков.

Настоящее исследование

В данной работе изучены методы синтеза бициклических солей пирилия, конденсированных с пирановым циклом, из моноциклических и реакции солей пирано[3,4-c]пирания с нуклеофилами, приводящие к биядерным гетероциклическим соединениям.

Степень разработанности темы исследования. Соли пирилия благодаря своему уникальному строению обладают рядом свойств, которые позволяют их в качестве исходного материала В синтезе гетероциклических систем. При изучении литературы, посвященной катиону пирилия, стало очевидно, что синтез бициклических структур, содержащих конденсированные пирилиевый и пирановый циклы, никем ранее не осуществлялся. Очевидно, что подобные соединения весьма перспективны в органическом синтезе из-за возможности поочередной модификации обоих кислородсодержащих колец. Кроме того, проанализировав литературные данные за последние 5 лет, можно заметить значительный рост интереса к использованию производных солей пирилия в разнообразных прикладных областях. С помощью различных инструментов органической химии ведется поиск методов синтеза новых соединений этого ряда, которые находят применение в химии полимеров, в материаловедении и электронике, в производстве лекарственных препаратов, а также красителей и пигментов. Помимо самостоятельного использования солей пирилия в технических сферах, они являются доступным, дешевым и универсальным материалом для синтеза других гетероциклов, например, производных пиридина и солей пиридиния.

Цель работы – разработка препаративных методов синтеза бициклических гетероциклов на основе моноциклических солей пирилия. Для осуществления подобных превращений необходимо получить соли пирилия, содержащие функциональные группировки, способные образовывать гетероциклическое кольцо, конденсированное с исходным пирилиевым циклом. В качестве таких функциональных групп выбраны алкильная группа в положении 4 и ацильная в положении 3 пирилиевого цикла (схема 2).

В рамках поставленной цели данной работы были сформулированы следующие задачи: синтезировать ряд новых производных моноциклических пирилиевых солей — перхлоратов 4-алкил-3-ацилпирилия; получить серию представителей нового класса гетероциклических систем — катионов пирано[3,4-c]пирания; исследовать взаимодействие системы катиона

пирано[3,4-с]пирания с азот- и углеродсодержащими нуклеофилами, а также изучить её взаимодействие с сильными кислотами Брёнстеда и Льюиса.

Научная новизна. Разработан трёхстадийный метод синтеза солей 3-ацилпирилия, заключающийся в получении 4H-пиранов, их ацилировании и окислении промежуточных 3-ацил-4H-пиранов. Обнаружена перегруппировка солей 3-формилпирилия под действием триэтилортоформиата. В результате разработан метод синтеза новой гетероциклической системы — катиона пирано[3,4-c]пирания. Методом ЯМР зафиксирована суперэлектрофильная гетероциклическая система — дикатион пирано[3,4-c]пирандиия. Исследование свойств перхлоратов пирано[3,4-c]пирания позволило разработать новые методы синтеза 2,7-нафтиридинов, солей пирано[3,4-c]пиридиния, изохроменов и солей изохромения.

Теоретическая и практическая значимость работы. Показана способность 4Н-пиранов вступать в реакции ацилирования по положению 3 в условиях реакции Вильсмайера, что открыло путь к синтезу солей 3-ацилпирилия. На их повышение продемонстрировано реакционной способности Это фунциональных групп, вводимых в пирилиевый цикл. позволило осуществить циклизацию 3-формилпирилиевых солей ПОД действием триэтилортоформиата; при ЭТОМ они претерпевают перегруппировку углеродного скелета, в результате которой атомы шестичленного цикла исходного вещества используются для построения обоих колец бициклической системы катиона пирано[3,4-с]пирания. Таким образом, впервые осуществлена рециклизация одного пирилиевого катиона в другой. Показана принципиальная возможность существования дикатиона пирано[3,4-c]пирандиия концентрированной серной кислоте. Найдено, что перхлораты пирано[3,4c]пирания способны к реакциям рециклизации как одного, так и двух пирановых колец.

Производные пирано[3,4-*c*]пиридиниевых солей, а именно хлориды **23a'** и **23b'**, проявили антимикробную активность в отношении грамположительных бактерий *Bacillus subtilis*. Обнаружена антибиотическая активность производного пирано[3,4-*c*]пиридина **23a'** – в отношении штаммов возбудителя туляремии *Francisella tularensis* разной степени вирулентности. В дальнейшем соединения могут быть использованы для создания новых противомикробных препаратов.

Методология и методы исследования. Для установления строения продуктов реакций были использованы: одномерная ЯМР-спектроскопия на ядрах 1 H, 13 C, 15 N, двумерная гомо- и гетероядерная ЯМР-спектроскопия (NOESY, COSY, HSQC, HMBC) $\{^{1}$ H, 1 H $\}$, $\{^{1}$ H, 13 C $\}$, $\{^{1}$ H, 15 N $\}$, рентгеноструктурный анализ. Индивидуальность веществ контролировалась методом тонкослойной хроматографии на пластинках с $Al_{2}O_{3}$ и силикагелем. Состав веществ определялся с помощью элементного анализа.

Положения, выносимые на защиту

- Разработка метода синтеза перхлоратов 4-алкил-3-ацилпирилия, пирано[3,4-c]пирания и пирано[3,4-c]пиридиния, 2,7-нафтиридинов и изохроменов;
- регистрация и доказательство строения дикатиона пирано[3,4-c]пирандиия в ампуле спектрометра ЯМР;
- синтез 1,1'-оксибис(5-метил-3,8-дифенил-1*H*-пирано[3,4-c]пиран-7-диия) бис[гексахлорантимоната⁽¹⁻⁾];
 - установление строения полученных соединений методами ЯМР и РСА;
- квантово-химические данные о стабильности интермедиатов и конечных продуктов исследуемых реакций.

Апробация. Основные результаты работы представлены на конференциях: XIII ежегодной молодежной научной конференции студентов, аспирантов и «Исследования разработки передовых научных ученых И молодых направлений», Ростов-на-Дону, 2017; XIV ежегодной молодежной научной конференции студентов, аспирантов и молодых ученых «Достижения и перспективы молодых ученых в интересах развития Юга России», Ростов-на-Дону, 12-26 апреля, 2018; международной научной конференции студентов, аспирантов и молодых учёных «Ломоносов-2018», Москва, 9-13 апреля, 2018; III региональной студенческой научно-практической конференции Южного федерального округа «Химия: достижения и перспективы», Ростов-на-Дону, 13-14 апреля, 2018; научно-практической конференции «Актуальные вопросы изучения особо опасных и природно-очаговых болезней», Новосибирск, 2019; XV ежегодной научной конференции молодых ученых «Вклад молодых ученых в реализацию стратегии макрорегиона развития отонжо Российской федерации: цели, задачи, результаты», Ростов-на-Дону, 15-26 апреля, 2019.

Публикации. По теме диссертационного исследования опубликовано 9 печатных работ, из них 3 статьи в рецензируемых научных изданиях, рекомендованных ВАК, регистрируемых в базах данных «Scopus» и «Web of science» и 6 тезисов докладов.

Объем и структура диссертации. Диссертационная работа состоит из введения, литературного обзора, обсуждения результатов, экспериментальной части, выводов, списка литературы и приложения. Материал изложен на 148 страницах. Список литературы содержит 125 ссылок.

Работа выполнена при финансовой поддержке внутреннего гранта Южного Федерального Университета ВнГр-07/2017-11, а также при финансовой поддержке Министерства науки и высшего образования РФ в рамках государственного задания в сфере научной деятельности № 0852-2020-0019.

Основное содержание работы

1. Синтез перхлоратов пирано[3,4-с]пиран-7-ия

1.1 Синтез перхлоратов 4-алкил-3-ацилпирилия

Подход, используемый для решения поставленных в этой работе задач, 4*H*-пиранов заключается исследовании нуклеофильных свойств нестабильных соединений, которые ранее чаще всего рассматривались в качестве промежуточных веществ в синтезе солей пирилия. Однако если реакция окисления 4H-пиранов в катион хорошо изучена и служит методом синтеза солей пирилия, то электрофильное замещение с образованием нового 4H-пирана практически не исследовано. Изначально был получен ряд 4H-2,6-дифенилпирилия реакции перхлората пиранов алкилмагнийгалогенидами (схема 3).

Ph O Ph
$$\frac{RCH_2MgX, Et_2O}{0^{\circ}C}$$
 Ph O Ph $\frac{RCH_2MgX, Et_2O}{0^{\circ}C}$ Ph O Ph $\frac{CIO_4}{0^{\circ}C}$ 2a-c $\frac{a) R = Me}{b) R = Ph}$ Cxema 3

Затем проводилось ацилирование по Вильсмайеру 4*H*-пиранов **2а-с**, что приводит к образованию 4-алкил-3-формилпиранов **4a-с** и 4-алкил-3-бензоилпирана **4d** при использовании диметилбензамида в качестве реагента для ацилирования (схема 4).

В случае 4-этил-2,6-дифенил-4*H*-пирана **2a**, где R = CH₃, в результате данной реакции наблюдается образование двух продуктов в соотношении практически 1:1: ожидаемого 4-этил-3-формилпирана **4a** и альдегида **7** (схема 4). Продукты реакции были разделены с помощью колоночной хроматографии, сорбент – окись алюминия.

Очевидно, что происходят два параллельных процесса: электрофильная атака в положение 3 4*H*-пирана с образованием промежуточного соединения **3** и окисление пирана с образованием соли **5**. Этилзамещенная соль **5** реагирует с ДМФА с образованием промежуточного продукта конденсации **6**. Образование подобных продуктов из алкилзамещенных солей пирилия ранее уже было исследовано. Обработка реакционной смеси водным раствором NaOH приводит к альдегидам **4a** и **7**.

Было выяснено, что при использовании трехкратного и большего избытка реагента Вильсмайера, а также при увеличении времени кипячения реакционной смеси, наблюдается образование продукта диформилирования (схема 5). В результате был выделен 3,5-диформилпиран 8.

Затем 4-алкил-3-ацилпираны **4a-d** под действием тритилперхлората окисляются до целевых перхлоратов 3-ацилпирилия **9a-d** (схема 6).

Ph O Ph
$$\frac{R_1}{4a-d}$$
 $\frac{R_1}{rt}$ $\frac{R_1}$

1.2 Реакция 4-алкил-3-формилпирилиевых солей с триэтилортоформиатом

Для осуществления внутримолекулярной циклизации с участием алкильной и формильной групп была проведена реакция соответствующих 4-алкил-3-формилпирилиевых солей 9a-с с триэтилортоформиатом. В результате выделены перхлораты пирано [3,4-c] пиран-7-ия 10a-с (схема 7).

Изначально продуктам данной реакции была ошибочно присвоена общая

структура 11. Предполагалось, что имеет место только взаимодействие функциональных групп с образованием пиранового цикла, конденсированного с катионом пирилия (схема 7).

R = a) Me, 58% b) Ph, 48% c) Pr, 50%

Схема 7

рентгеноструктурного (рис.1) Однако данные анализа показали, ожидаемые продукты 11 не образуются. В результате реакции исходные фенильные группировки находятся в разных пирановых циклах, а продуктами являются структуры 10а-с. Таким образом, впервые обнаружена рециклизация пирилиевого катиона другой, сопровождающаяся одного В перегруппировкой.

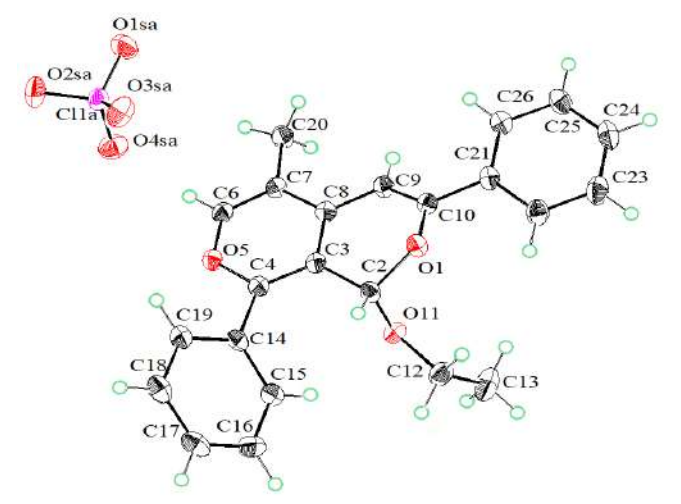


Рис. 1 Молекулярная структура перхлората 10а

В диссертационном исследовании это превращение подробно изучено на примере перхлората 2,6-дифенил-3-формил-4-этилпирилия **9a**. Приведена схема возможного механизма реакции (схема 8), проведены DFT расчеты наиболее важных стационарных точек на поверхности потенциальной энергии (ППЭ).

Первоначально происходит депротонирование исходной соли формилпирилия 9а до этилиденпирана 12. Присоединение по двойной связи диэтоксикарбения приводит катиона интермедиата 13 и высвобождению молекулы этанола, выступающей в дальнейшем как нуклеофил. Соль 13 дает продукт присоединения 14, а последующее раскрытие кольца, отщепление этанола и протонирование дает катион 15, стабилизированный тремя винильными группами. Очевидно, что образование раскрытой структуры 15 и вращение фрагмента молекулы вокруг С – С связи является ключевым этапом в образовании конечного продукта реакции 10а. После этой стадии происходит закрытие обоих циклов через промежуточные соединения **16**, **17**, и **18** и образование конечного продукта реакции — перхлората пирано[3,4-c] пиран-7-ия **10a** (схема 8).

В случае использования в качестве исходного соединения для данной реакции не 3-формил, а 3-бензоил производного 9d, выделить соответствующую соль пирано[3,4-c]пиран-7-ия не удалось. Вероятно, реакция не идет из-за стерических затруднений, создаваемых фенильной группой во время стадии образования интермедиата типа 13. При этом исходная соль 9d выделена в неизменном виде.

2. Исследование свойств катионов пирано[3,4-с] пиран-7-ия

2.1 Синтез дикатиона пирано[3,4-с] пирандиия

Взаимодействие вещества **10a** с кислотой *а priori* должно привести к протонированию этокси-группы и образованию дикатиона пирано[3,4-c]пирандиия **19a**, однако возможность его существования дискуссионна, поскольку наличие двух конденсированных пирилиевых катионов в одной молекуле должно резко уменьшать её стабильность и повышать реакционную способность. Обработка соединения **10a** хлорной кислотой в смеси с ангидридом алифатической кислоты (уксусной или пропионовой) приводит к выделению гидрокси-пирано[3,4-c]пиран-7-иевой соли **20** (рис. 2) (схема 9).

Очевидно, что образование перхлората **20** происходит через формирование дикатиона **19a**, однако он оказывается настолько электрофильным, что присоединяет молекулу воды из внешней среды при попытке выделения.

Рис.2 Молекулярная структура перхлората 20

При растворении соединения **20** в дейтеросерной кислоте (схема 10) образуется раствор тёмно-красного цвета, спектры ЯМР которого показывают наличие дикатиона **19b** (рис. 3).

Me
$$\xrightarrow{Ph}$$
 $\xrightarrow{D_2SO_4}$ \xrightarrow{H} \xrightarrow{Ph} $\xrightarrow{DSO_4}$ \xrightarrow{H} \xrightarrow{Ph} $\xrightarrow{DSO_4}$ \xrightarrow{H} $\xrightarrow{DSO_4}$ $\xrightarrow{DSO_4}$ $\xrightarrow{DSO_4}$ $\xrightarrow{DSO_4}$ $\xrightarrow{DSO_4}$

Схема 10

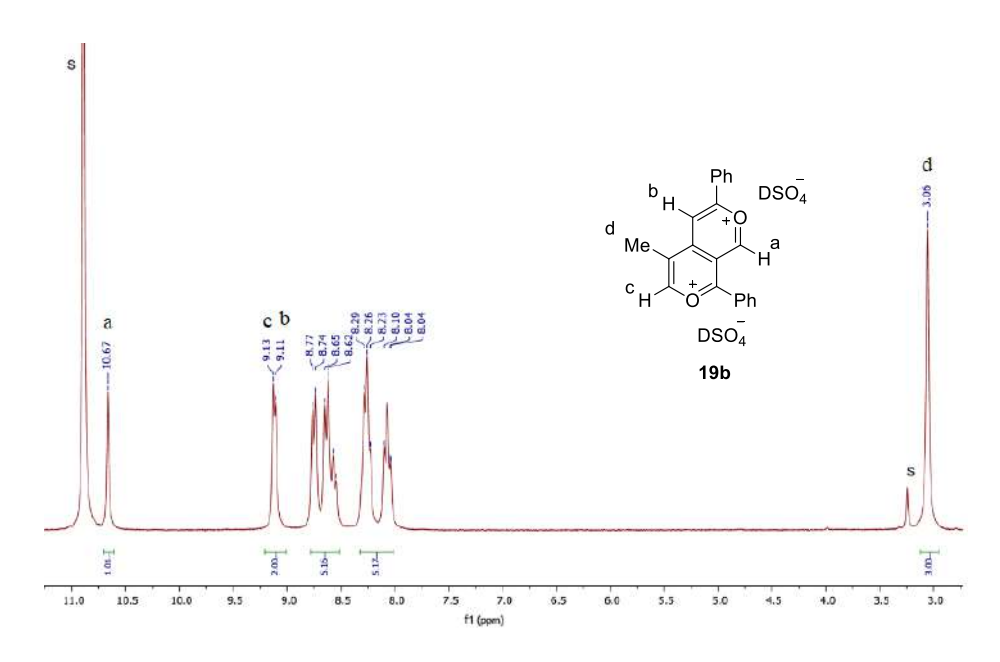


Рис.3 ¹Н ЯМР спектр структуры 19b

При обработке раствора перхлората пирано[3,4-*с*]пирани-7-ия **10**а в абсолютном дихлорэтане пятихлористой сурьмой были выделены темножелтые кристаллы. Их рентгеноструктурный анализ показал, что продукт реакции имеет структуру **21** в виде сольвата с 1 моль дихлорэтана (рис. 4а,b). При рассмотрении рисунка 4b следует учесть, что в его центре совмещены две молекулы дихлорэтана: Cl(8B)-C(22B)-C(22A)-Cl(7A) и Cl(8A)-C(22A)-Cl(7B). Все их атомы имеют заселенность 1/2, при этом заселенности атомов углерода складываются, и их суммарная заселенность равна 1. В кристалле двугранный угол между плоскостями Cl-C-C в независимой молекуле дихлорэтана при рассмотрении в проекции Ньюмена вдоль связи C-C близок к прямому (90.6°).

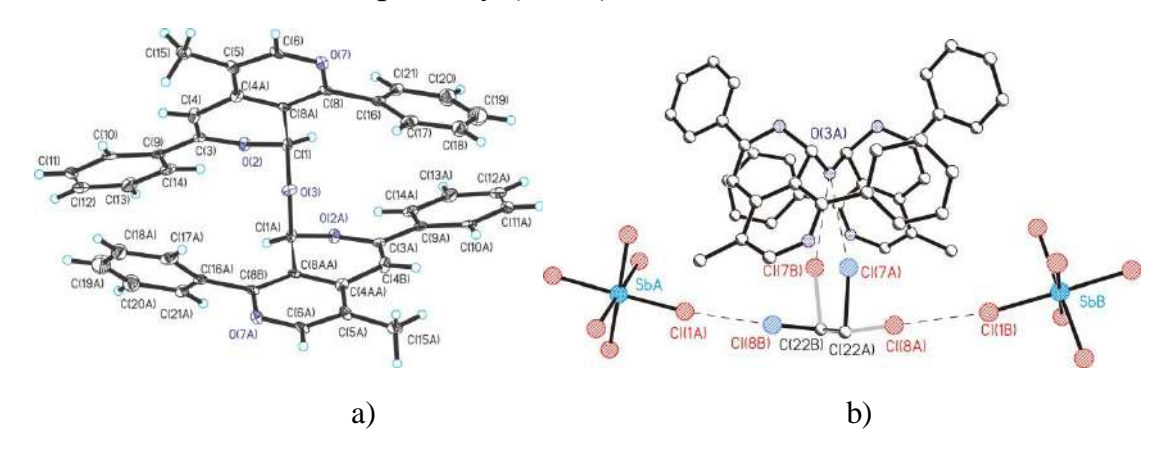


Рис. 4 а) Взаимное расположение двух частей двухзарядной молекулы **21**; b) Взаимная ориентация анионов, $SbCl_6^-$ и молекул дихлорэтана в соединении **21**

Очевидно, в этом случае, как и в реакции с хлорной кислотой, первоначально образуется дикатион 19c, затем его гидрокси-производное 20', которое реагирует с имеющимся в растворе дикатионом пирано[3,4-c] пирандиия 19c с образованием стабильного дигексахлорантимоната 21 (схема 11).

Исходя из расчёта индекса глобальной электрофильности, дикатион **19d** с ω = 4.64 (схема 12) можно отнести к суперэлектрофильным системам, поскольку некоторые из нитрофуроксанов с ω 4.5 ÷ 4.8 являются суперэлектрофилами.

2.2 Реакции катионов пирано[3,4-*c*]пиран-7-ия с азотсодержащими нуклеофилами

В реакции перхлоратов пирано[3,4-c]пиран-7-ия **10а-с** с избытком ацетата аммония оба пирановых цикла подвергаются рециклизации с образованием 2,7-нафтиридинов **22а-с** без скелетной перегруппировки (схема 13).

Рис.5 Молекулярная структура 2,7нафтиридина **22a**

Данные РСА (рис. 5) подтверждают образование структуры **22a**, что еще раз указывает на термодинамическую стабильность структур с фенильными заместителями в разных кольцах, аналогичных соединениям **10a** и **20**.

Соли 1*H*-пирано[3,4-*c*]пиран-7-ия **10а-с** имеют в своей структуре два неравноценных по реакционной способности кольца. Это дает возможность поочередных манипуляций с разными циклами для получения различных бициклических систем. В отличие от аммиака, амины взаимодействуют с солями **10а-с** по-другому: происходит рециклизация лишь пирилиевого кольца, а цикл пирана остается незатронутым. Состав продуктов этой реакции зависит от типа нуклеофила. Алифатические амины образуют только продукты рециклизации **23а-ј** (схема 14). Замещение этокси-группы не наблюдается даже при использовании двукратного или трехкратного избытка амина.

Схема 14

Ароматические амины дают продукты реакции **24a-d** (схема 15) с 2 моль нуклеофила. Один моль амина используется для рециклизации, второй — для замещения этокси-группы.

Ph
$$+ 2 \text{ ArNH}_2$$
 EtOH $+ 2 \text{ ArNH}_2$ $+ 2 \text{ ArNH}_$

24a R = Me, Ar = 4-MeC₆H₄, 49% 24c R = Ph, Ar = 4-MeC₆H₄, 54% 24b R = Me, Ar = 4-MeOC₆H₄, 61% 24d R = Ph, Ar = 3-F₃CC₆H₄, 74%

Схема 15

Различие между результатами реакций с алифатическимии с ароматическими аминами может быть объяснено следующим образом (схема 16). Первоначально реакция с обоими типами аминов идёт по заряженному кольцу и сопровождается рециклизацией с образованием продуктов 23. Очевидно, что

замещение этокси-группы будет происходить по механизму $S_{\rm N1}$ через образование дикатиона **25**. Лёгкость образования и реакционная способность этого дикатиона определяется электронным влиянием заместителя при атоме азота соединений **23**.

Интермедиат 25 будет легче образовываться в случае ароматических аминов из-за большей делокализации положительного заряда. Электронная плотность на атоме C-1 катиона 25 будет больше в случае использования алифатических аминов 25 (R¹ = Alk) по сравнению с дикатионом 25 (R¹ = Ar) из-за электронодонорного влияния алкильных заместителей при атоме азота. Следовательно, катион 25 в случае ароматических аминов будет легче образовываться и иметь большую реакционную способность. Этим объясняется смещение равновесия в сторону катиона 25 в случае ароматических аминов и выделение продуктов реакции 24a-d, соответствующих замещению этоксигруппы ещё одним моль амина. Присутствие электронодонорных алкильных групп у атома азота в соединениях 23 делает их более стабильными и предотвращает ионизацию связи C-OEt. Присоединение второго моль амина будет контролироваться лёгкостью генерирования катиона 25.

Также было выяснено, что при кипячении солей пирано[3,4-c]пиридиния **23i,j** в спиртовом растворе щелочи происходит замена этокси-группы на ОНгруппу с образованием гидрокси-производных **26a,b** (схема 17).

Схема 17

2.3 Реакции перхлората пирано[3,4-с] пиран-7-ия с С-нуклеофилами

взаимодействие моноциклических Известно, ЧТО солей пирилия метиленактивными соединениями приводит к замене циклического атома образованием углерод различных карбоцикличеких кислорода на c производных. Было выяснено, что взаимодействие солей пирано[3,4-с]пиран-7ия 10b с ацето- и цианоуксусным эфирами в условиях межфазного катализа (МФК) идёт аналогично, при этом образуются соответствующие изохромены 26 и 27 (схема 18).

Реакции проводились при перемешивании в течение 5-6 часов эфирной суспензии соли пирано[3,4-c]пиран-7-ия **10b** с метиленактивным соединением, 30% раствором NaOH и катализатором — триэтилбензиламмоний хлоридом. Строение продукта реакции **27** доказано методом PCA (рис. 7).

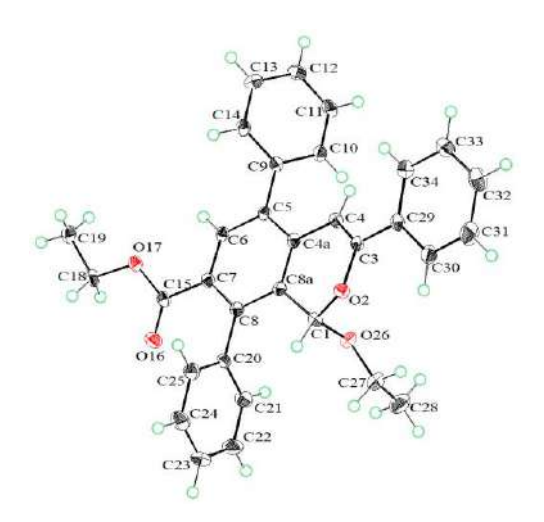


Рис. 7 Структура соединения 27

Однако в отличие от перхлората пирано[3,4-c]пиран-7-ия с фенильным заместителем **10b**, в случае наличия в положении 5 исходной соли **10a** метильной группы, выделить изохромен **28** не удалось. При последующей обработке реакционной смеси 70% хлорной кислотой в пропионовом ангидриде наблюдается образование перхлората изохромения **29** (схема 19).

В реакциях солей пирано [3,4-с] пирания с метиленактивными соединениями в условиях межфазного катализа конечные выходы продуктов оказались весьма низкими, а в случае с малондинитрилом выделить соответствующий изохромен и вовсе не удалось. Поэтому было принято решение продолжить поиски метода, позволяющего увеличить конечных продуктов. Так. выходы были осуществлены реакции рециклизации с заменой циклического кислорода на углерод по методу, описанному Дж. В. Бойдом и С. Р. Дандо в 1972 году [G. V. Boyd, S. R. Dando // J. Chem. Soc. Perkin Trans. 1 – 1972. – 1142–1144]. Метод заключается использовании качестве источника 5-оксо-2-арил-4,5-дигидрооксазол-3-ина соединений перхлоратов получаемых циклизацией замещенных N-бензоилглицинов 30а, в при обработке их смесью пропионового андидрида и 70% HClO₄ (схема 20).

Соли **31a,b** вводят в реакцию с перхлоратом пирано[3,4-*c*] пирания **10a** в присутствии двукратного избытка триэтиламина, который превращает соль **31a,b** в азлактон и способствует его депротонированию с образованием аниона **33a,b**. После кипячения реакционной смеси, удаления растворителя и обработки остатка спиртовым раствором NaOH были выделены соединения **32a,b** (схема 21).

Me
$$OEt$$
 + Ar O OEt + Ar O OEt OET

Схема 21

Предположительный механизм реакции образования соединений **32а,b** представлен на схеме 22.

2.4 Биологическая активность синтезированных соединений

испытания¹ Были проведены биологические синтезированных 2.7нафтиридинов и солей пирано[3,4-с] пиридиния. Следует отметить, последние являются гибридными структурами, содержащими в молекуле два фармакофора – гетероциклический каркас и четвертичный пиридиниевый биологических испытаний катион. проведения перхлорат-анион соединений 23 был заменён на фармакологически приемлемый хлорид. Для этого перхлораты 23 сначала обрабатывались водным раствором ацетата натрия, а затем раствором сухого хлористого водорода в изопропиловом спирте. Соединения 23а' и 23b' проявили антимикробную активность в отношении грамположительных бактерий Bacillus subtilis (схема 23).

¹ Биологические испытания антибактериальной активности проведены в Ростовском противочумном институте.

_

Схема 23

Кроме этого, было проведено исследование соединения **23a** в отношении возбудителя туляремии. Испытание проводили диско-диффузионным методом, в котором использовали 5 природных вирулентных штаммов *Francisella tularensis* трех основных подвидов.

Максимальный ингибирующий эффект в отношении *Bacillus subtilis* отмечен для производного **23b**', содержащего морфолиновый фрагмент. В испытаниях с туляремийной инфекцией производное пирано[3,4-c]пиридина **23a**' вызывает четко регистрируемую задержку роста *Francisella tularensis* (МПК (минимальная предельная концентрация) – 32 мкг/мл).

Выводы:

- 1. 4H-Пираны в реакциях с электрофильными агентами способны не только окисляться до соответствующих солей пирилия, но и давать продукты замещения по положению 3 пиранового цикла. Реакцией Вильсмайера из 4H-пиранов синтезированы 3-ацил-4H-пираны; окисление последних приводит к солям 3-ацилпирилия.
- 2. Обнаружена рециклизация 4-алких-3-формилпирилиевых солей при взаимодействии с триэтилортоформиатом, приводящая к образованию представителей новой гетероциклической системы катиона пирано[3,4-с]пиран-7-ия. Процесс включает в себя скелетную перегруппировку 3-формилпирилиевого катиона, в результате которой атомы шестичленного цикла исходного вещества используются для построения обоих колец новой бициклической соли.
- 3. При обработке перхлората пирано[3,4-c]пиран-7-ия серной кислотой наблюдается образование неизвестной ранее суперэлектрофильной системы дикатиона пирано[3,4-c]пирандиия.
- 4. В результате попытки выделения дикатиона пирано[3,4-c]пирандиия действием 70% хлорной кислоты в пропионовом ангидриде образуется продукт замещения этокси-группы в исходном катионе пирано[3,4-c]пиран-7-ия на ОНгруппу. В случае использования SbCl₅ образуется димерная солевая структура, состоящая из двух катионных фрагментов пирано[3,4-c]пиран-7-ия, связанных между собой кислородным мостиком.
- 5. В реакциях перхлоратов пирано[3,4-c]пиран-7-ия с аммиаком и аминами образуются 2,7-нафтиридины и соли пирано[3,4-c]пиридиния соответственно. В случае использования алифатических первичных аминов наблюдается образование пирано[3,4-c]пиридиниевых солей, продуктов замены циклического атома кислорода на остаток амина, а в случае ароматических первичных аминов пирано[3,4-c]пиридиниевых солей с дополнительным замещением этокси-группы на второй остаток амина.
- 6. В реакциях перхлоратов пирано[3,4-c]пиран-7-ия с С-нуклеофилами образуются изохромены, которые при обработке смесью 70% хлорной кислоты с ангидридом алифатической карбоновой кислоты окисляются до соответствующих солей изохромения.
- 7. Производные пирано[3,4-c]пиридиниевых солей проявили антимикробную активность и в дальнейшем могут быть использованы для создания новых противомикробных препаратов.

Работы, опубликованные автором по теме диссертации

- 1. Suzdalev K. F. Unexpected pyrylium to pyrylium domino transformation. Synthesis of pyrano[3,4-c]pyran-7-ium cation and its recyclization to 2,7-naphthyridine derivative / K.F. Suzdalev, **A.V. Krachkovskaya**, M. E. Kletskii, O. N. Burov, A. V. Tatarov, S. V. Kurbatov // Chemistry of Heterocyclic Compounds. − 2017. − № 53. − P. 156–160.
- 2. Suzdalev K. F. Reactions of 1*H*-pyrano[3,4-*c*]pyran-7-ium perchlorates with ammonium acetate and amines: synthesis of 2,7-naphthyridines and pyrano[3,4-*c*]pyridinium salts / K. F. Suzdalev, **A. V. Krachkovskaya**, G. S. Borodkin, P. A. Galenko-Yaroshevsky, A. V. Tikhonov, S. V. Kurbatov // Mendeleev Communications. − 2019. − № 29. − P. 432–434.
- 3. Suzdalev K. F. Pyrano[3,4-c]pyrandiium dication / K.F. Suzdalev, A.V. Krachkovskaya, V. V. Tkachev, S. V. Kurbatov, S. M. Aldoshin // Mendeleev Communications. 2020. № 30. P. 325–327.
- 4. **Крачковская А.В.** Соли 4-алкил-3-формилпирилия новые реагенты для построения бициклических гетероциклов // XIII ежегодная молодежная научная конференция студентов, аспирантов и молодых ученых «Исследования и разработки передовых научных направлений», г. Ростов-на-Дону 2017. С. 65.
- 5. **Крачковская А.В.** Реакции катиона пирано[3,4-*c*]пирилия с азотсодержащими нуклеофилами // XIV ежегодная молодежная научная конференция студентов, аспирантов и молодых ученых «Достижения и перспективы молодых ученых в интересах развития Юга России», г. Ростов-на-Дону 2018. С. 57.
- 6. **Крачковская А.В.** Синтез и исследование бициклических производных 4-алкил-3-формил пирилиевых солей // Международная научная конференция студентов, аспирантов и молодых учёных «Ломоносов-2018», г. Москва 2018. С. 613.
- 7. **Крачковская А.В.** Синтез и исследование бициклических производных 4-алкил-3-формил пирилиевых солей // III региональная студенческая научно-практическая конференция Южного федерального округа «Химия: достижения и перспективы», г. Ростов-на-Дону 2018. С. 112-113.
- 8. Павлович Н.В. Антибактериальная активность экспериментального препарата KR-30 в отношении вирулентных и авирулентных штаммов возбудителя туляремии / Н.В. Павлович, С. В. Курбатов, М.В. Цимбалиства, Н.В. Аронова, **А.В. Крачковская**, К.Ф. Суздалев // научнопрактическая конференция «Актуальные вопросы изучения особо опасных и природно-очаговых болезней», г. Новосибирск 2019. С. 365-369.
- 9. Чекунов А.А. Реакции перхлоратов пирано[3,4-*c*]пирилия с метиленактивными соединениями / А.А. Чекунов, **А.В. Крачковская** // XV Ежегодная научная конференция молодых ученых, г. Ростов-на-Дону 2019. С. 83.